

El operador gradiente  $\nabla$  (ojo c/m a  $x^j$ , el sistema curvilíneo) (20)  
 para  $\underline{v}$  se calculaba

$$\begin{aligned} \nabla \otimes \underline{v} &= (\nabla \otimes v_i) \underline{g}^i + v_i \nabla \otimes \underline{g}^i \\ &= \left( \frac{\partial v_i}{\partial x^j} - \Gamma_{ji}^k v_k \right) \underline{g}^i \otimes \underline{g}^j \end{aligned}$$

← Se podía calcular esto como covariante o  $\underline{g}^i \otimes \underline{g}_j, \underline{g}_i \otimes \underline{g}_j$  mixto.

⇒ En el caso del gradiente de deformación la situación es distinta

$$\begin{aligned} \underline{x} &= x^i \underline{g}_i & \underline{\underline{X}} &= \underline{\underline{X}}_j \underline{\underline{G}}^j \\ &\downarrow & &\downarrow \\ &\underline{g}_i \text{ puede depender} & &\text{solo podrían} \\ &\text{de las coordenadas} & &\text{depender de} \\ &\text{curvilíneas } x^j, & &\text{las coordenadas} \\ &\text{pero no en } \underline{\underline{X}} & &\text{curvilíneas } \underline{\underline{X}}^j \end{aligned}$$

⇒ Cuando se calcula el gradiente c/m a  $\underline{\underline{X}}$  de  $\underline{x}$  no es necesario incluir el término  $\Gamma_{ji}^k x_k$  que vendría de  $\nabla \otimes \underline{g}^i$ , pues en nuestro caso tenemos  $\nabla_k \otimes \underline{g}_i$

↓ c/m a  $\underline{\underline{X}}$  ↓ no depende de  $\underline{\underline{X}}$  directamente

$$\Rightarrow \text{Grad } \underline{x} = \frac{\partial x^i}{\partial \underline{\underline{X}}_j} \underline{g}_i \otimes \underline{\underline{G}}^j$$

→ tenemos que  $\underline{\underline{F}}$  sería un tensor mixto  $F_{ij} = \frac{\partial x_i}{\partial \underline{\underline{X}}_j}$

¿Por que?  $x^i$

$\underline{g}_i, \underline{\underline{G}}^j$  no son necesariamente unitarios,

se modo que se define la componente 'física' como

$$\begin{aligned} \hat{\underline{g}}_i &= \frac{1}{|\underline{g}_i|} \underline{g}_i & \hat{\underline{\underline{G}}^j} &= \frac{1}{|\underline{\underline{G}}^j|} \underline{\underline{G}}^j \end{aligned}$$

no hay suma

de modo que  $\text{Grad } \underline{x} = \frac{\partial x^i}{\partial \underline{\underline{X}}_j} |\underline{g}_i| |\underline{\underline{G}}^j| \hat{\underline{g}}_i \otimes \hat{\underline{\underline{G}}^j}$

Ejemplo  $\underline{x}$  en coordenadas cilíndricas,  $\underline{X}$  Coordenadas Cartesianas

(21)

$$\psi^{-1} = (x^1 \cos x^2, x^1 \sin x^2, x^3) \quad x^1 \mapsto r \quad x^2 \mapsto \theta \quad x^3 \mapsto z$$

$$\underline{g}_1 = \frac{\partial \psi^{-1}}{\partial x^1} = (\cos \theta, \sin \theta, 0) \quad \underline{g}_2 = \frac{\partial \psi^{-1}}{\partial x^2} = (-r \sin \theta, r \cos \theta, 0)$$

$$\underline{g}_3 = (0, 0, 1)$$

se define  $\underline{e}_r = \frac{1}{|\underline{g}_1|} \underline{g}_1 = (\cos \theta, \sin \theta, 0)$   $\underline{e}_\theta = \frac{1}{|\underline{g}_2|} \underline{g}_2 = (-\sin \theta, \cos \theta, 0)$

$$\underline{e}_z = \frac{1}{|\underline{g}_3|} \underline{g}_3 = (0, 0, 1) \quad \Rightarrow \underline{g}_2 = r \underline{e}_\theta$$

Por otra parte  $\underline{X}$  coordenadas Cartesianas  $\Rightarrow$  no hay distinción entre covariante y contravariante, y por lo tanto  $\underline{G}^i$  es igual a  $\underline{G}_j$  y es igual a  $\underline{E}_j$

$$r = r(\underline{X}_1, \underline{X}_2, \underline{X}_3) \quad \theta = \theta(\underline{X}_1, \underline{X}_2, \underline{X}_3) \quad z = z(\underline{X}_1, \underline{X}_2, \underline{X}_3)$$

$$\underline{x} = (r, \theta, z)^T$$

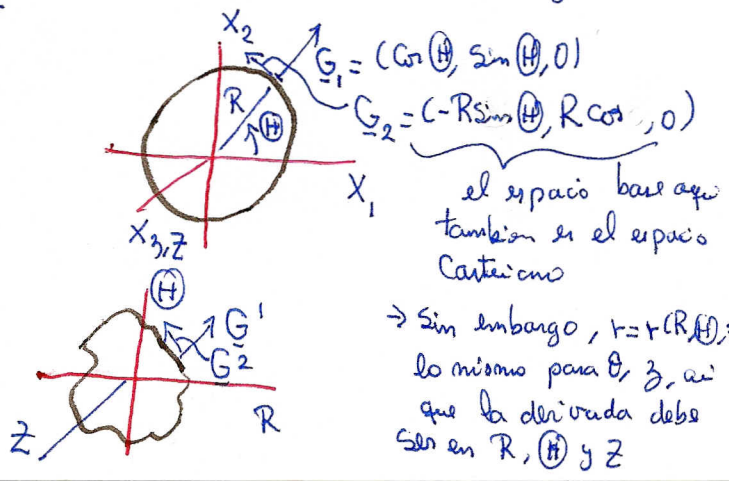
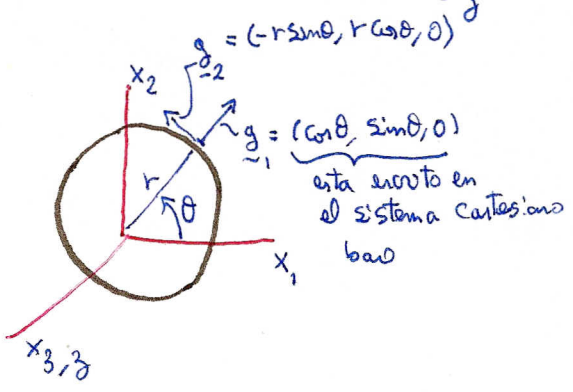
$$\Rightarrow \underline{F} = \text{Grad } \underline{x} = \frac{\partial r}{\partial \underline{X}_1} \underline{e}_r \otimes \underline{E}_1 + \frac{\partial r}{\partial \underline{X}_2} \underline{e}_r \otimes \underline{E}_2 + \frac{\partial r}{\partial \underline{X}_3} \underline{e}_r \otimes \underline{E}_3$$

$$+ \frac{\partial \theta}{\partial \underline{X}_1} r \underline{e}_\theta \otimes \underline{E}_1 + \frac{\partial \theta}{\partial \underline{X}_2} r \underline{e}_\theta \otimes \underline{E}_2 + \frac{\partial \theta}{\partial \underline{X}_3} r \underline{e}_\theta \otimes \underline{E}_3$$

$$+ \frac{\partial z}{\partial \underline{X}_1} \underline{e}_z \otimes \underline{E}_1 + \frac{\partial z}{\partial \underline{X}_2} \underline{e}_z \otimes \underline{E}_2 + \frac{\partial z}{\partial \underline{X}_3} \underline{e}_z \otimes \underline{E}_3$$

Ejemplo  $\underline{x}$  en coordenadas cilíndricas y  $\underline{X}$  en coordenadas cilíndricas también

¿Por qué  $\underline{F} = \text{Grad } \underline{x} = \frac{\partial x^i}{\partial \underline{X}_j} \underline{g}_i \otimes \underline{G}^j$ ?  $\rightarrow$  ¿Por qué no  $\underline{g}_i \otimes \underline{G}_j$ , etc.?



$\rightarrow$  y por tanto, el espacio "base" no es el cartesiano, sino el espacio cilíndrico, en donde los vectores dirección son  $\underline{G}^i$ , el recíproco de  $\underline{G}_j$ , y en donde  $X_j$  en realidad vienen a representar  $R, \theta$  y  $z$

$$r = r(R, \theta, z) \quad \theta = \theta(R, \theta, z) \quad z = z(R, \theta, z)$$

recuerda que  $\underline{G}^i \cdot \underline{G}_j = \delta_j^i$

$$\Rightarrow \underline{G}^1 = (\cos \theta, \sin \theta, 0)$$

$$\underline{G}^2 = \frac{1}{R} (-\sin \theta, \cos \theta, 0) \quad \underline{G}^3 = (0, 0, 1)$$

se define  $\underline{E}_R = \frac{1}{|\underline{G}^1|} \underline{G}^1 = (\cos \theta, \sin \theta, 0)$

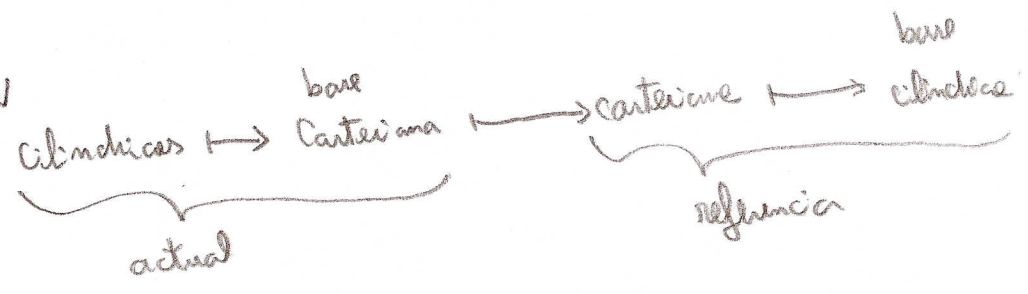
$$\underline{E}_\theta = \frac{1}{|\underline{G}^2|} \underline{G}^2 = (-\sin \theta, \cos \theta, 0) \quad \underline{E}_z = \frac{1}{|\underline{G}^3|} \underline{G}^3 = (0, 0, 1)$$

$$\underline{X} = (r, \theta, z)^T \Rightarrow \underline{G}^2 = \frac{1}{R} \underline{E}_\theta$$

$$\Rightarrow \underline{F} = \text{Grad } \underline{X} = \frac{\partial r}{\partial R} \underline{e}_r \otimes \underline{E}_R + \frac{\partial r}{\partial \theta} \frac{1}{R} \underline{e}_r \otimes \underline{E}_\theta + \frac{\partial r}{\partial z} \underline{e}_r \otimes \underline{E}_z$$

$$+ \frac{\partial \theta}{\partial R} r \underline{e}_\theta \otimes \underline{E}_R + \frac{\partial \theta}{\partial \theta} r \frac{\underline{e}_\theta}{R} \otimes \underline{E}_\theta + \frac{\partial \theta}{\partial z} r \underline{e}_\theta \otimes \underline{E}_z$$

$$+ \frac{\partial z}{\partial R} \underline{e}_z \otimes \underline{E}_R + \frac{\partial z}{\partial \theta} \frac{1}{R} \underline{e}_z \otimes \underline{E}_\theta + \frac{\partial z}{\partial z} \underline{e}_z \otimes \underline{E}_z$$



Ejemplos de deformación

Ⓐ Deformación homogénea: sea  $\underline{x} = \underline{x}(\underline{\Sigma})$ , y  $\underline{F} = \frac{\partial \underline{x}}{\partial \underline{\Sigma}}$ , si  $\underline{F}$  no depende de  $\underline{\Sigma}$  se dice que la deformación es homogénea  $\Rightarrow$  "se deforma lo mismo en cualquier punto en el cuerpo  $\mathcal{B}$ ".

Ej: Sea  $\underline{x} = \underline{A} \underline{\Sigma} + \underline{c}_0$ , donde  $\underline{A}$  es un tensor de 2<sup>do</sup> orden constante y  $\underline{c}_0$  es un vector cte.  $\Rightarrow \underline{F} = \underline{A}$

Ⓛ Extension uniforme de un cubo con contracción lateral

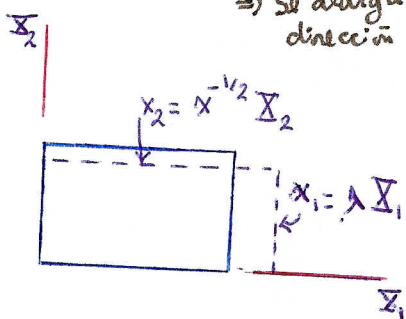
$x_1 = \lambda \Sigma_1$     $x_2 = \lambda^{-1/2} \Sigma_2$     $x_3 = \lambda^{-1/2} \Sigma_3$    (Coordenadas Cartesianas)   
  $\lambda$  cte

$\Rightarrow F_{ij} \rightarrow \begin{pmatrix} \lambda & 0 & 0 \\ 0 & \lambda^{-1/2} & 0 \\ 0 & 0 & \lambda^{-1/2} \end{pmatrix}$

$x_1 - \Sigma_1 = \lambda - 1$     $x_2 - \Sigma_2 = \lambda^{-1/2} - 1$     $x_3 - \Sigma_3 = \lambda^{-1/2} - 1$

$\because \lambda > 1$   
 $\Rightarrow$  se alarga en dirección 1

$\Rightarrow \lambda^{-1/2} < 1 \Rightarrow$   
se "acorta" en la dirección 2 y 3

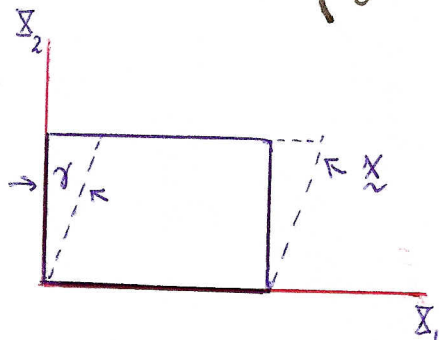


Ⓜ Corte simple

$x_1 = \Sigma_1 + \gamma \Sigma_2$     $x_2 = \Sigma_2$     $x_3 = \Sigma_3$

$\Rightarrow [F] = \begin{pmatrix} 1 & \gamma & 0 \\ 0 & 1 & 0 \\ 0 & 0 & 1 \end{pmatrix}$

$\gamma \Rightarrow$  "cantidad de corte"



b) Deformaciones no homogéneas

(i) Extensión e inflado de un tubo cilíndrico

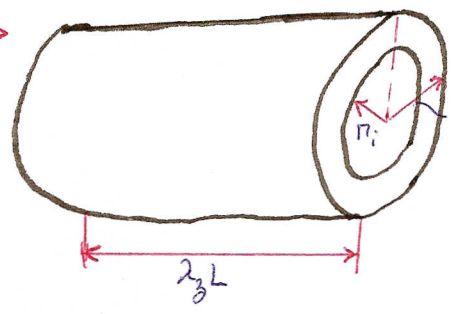
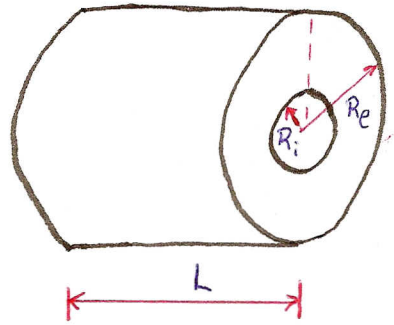
Tubo original  $R_i \leq R \leq R_e$   $0 \leq \theta < 2\pi$   $0 \leq z \leq L$

tubo deformado  $r = r(R)$

el radio final o deformado solo depende de la posición radial inicial

$\theta = \Theta$   
el ángulo se mantiene

$z = \lambda_3 Z$   $\lambda_3 = \text{cte}$   
se puede alargar o acortar

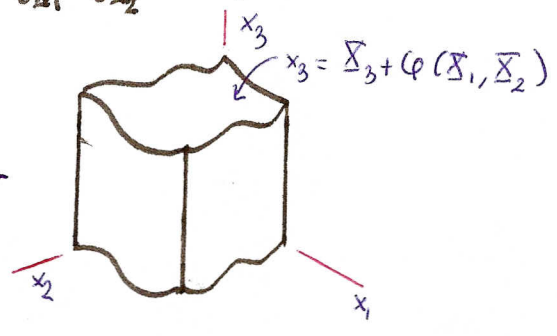
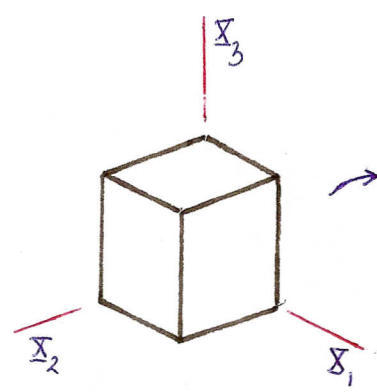


$r_i = r(R_i)$   
 $r_e = r(R_e)$

(ii) Corte anti-plano

$x_1 = X_1$   $x_2 = X_2$   $x_3 = X_3 + \varphi(X_1, X_2)$

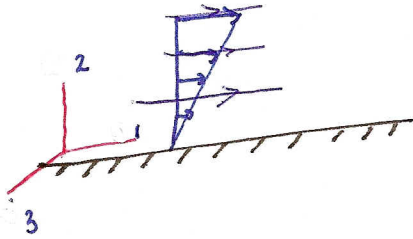
$[F] = \begin{pmatrix} 1 & 0 & 0 \\ 0 & 1 & 0 \\ \frac{\partial \varphi}{\partial X_1} & \frac{\partial \varphi}{\partial X_2} & 1 \end{pmatrix}$



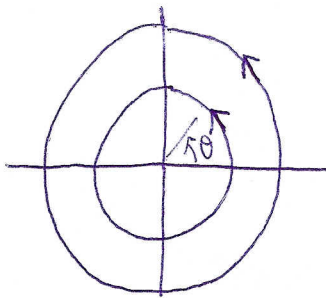
© Campos de velocidad

(i) Flujo en corte  $\dot{x}_1 = kx_2$   $\dot{x}_2 = 0$   $\dot{x}_3 = 0$   $k$  etc.

$$\underline{G} = \text{grad } \underline{\dot{x}} \Rightarrow [G] = \begin{pmatrix} 0 & k & 0 \\ 0 & 0 & 0 \\ 0 & 0 & 0 \end{pmatrix}$$



(ii) Vortice  $\dot{r} = 0$   $\dot{\theta} = w(r)$   $\dot{z} = 0$



$$\underline{G} = \text{grad } \underline{\dot{x}}$$

el gradiente se calcula con el mismo sistema de coordenadas cilíndricas en la que se ha escrito  $\underline{\dot{x}}$ , de modo que  $\underline{g}^i$  si se ve afectado por el operador

$$\text{grad } \underline{\dot{x}} = \nabla \otimes \underline{\dot{x}} = \left( \frac{\partial \dot{x}_k}{\partial x^a} - \Gamma_{dk}^i v_i \right) \underline{g}^k \otimes \underline{g}^a \leftarrow \text{general}$$

coord. cilíndricas  $\Rightarrow \nabla \otimes \underline{\dot{x}} = \frac{\partial \dot{r}}{\partial r} \underline{e}_r \otimes \underline{e}_r + \frac{1}{r} \left( \frac{\partial \dot{r}}{\partial \theta} - \dot{\theta} \right) \underline{e}_r \otimes \underline{e}_\theta$   
 $\underline{\dot{x}} = \dot{r} \underline{e}_r + \dot{\theta} \underline{e}_\theta + \dot{z} \underline{e}_z$   
 $+ \frac{\partial \dot{r}}{\partial y} \underline{e}_r \otimes \underline{e}_y + \frac{\partial \dot{\theta}}{\partial r} \underline{e}_\theta \otimes \underline{e}_r + \frac{1}{r} \left( \frac{\partial \dot{\theta}}{\partial \theta} + \dot{r} \right) \underline{e}_\theta \otimes \underline{e}_\theta$   
 $+ \frac{\partial \dot{\theta}}{\partial z} \underline{e}_\theta \otimes \underline{e}_z + \frac{\partial \dot{z}}{\partial r} \underline{e}_z \otimes \underline{e}_r + \frac{1}{r} \frac{\partial \dot{z}}{\partial \theta} \underline{e}_z \otimes \underline{e}_\theta$   
 $+ \frac{\partial \dot{z}}{\partial z} \underline{e}_z \otimes \underline{e}_z$

$$\Rightarrow \underline{G} = -\frac{w(r)}{r} \underline{e}_r \otimes \underline{e}_\theta + \frac{dw(r)}{dr} \underline{e}_\theta \otimes \underline{e}_r$$

$$\Rightarrow [G] = \begin{pmatrix} 0 & -\frac{w(r)}{r} & 0 \\ \frac{dw(r)}{dr} & 0 & 0 \\ 0 & 0 & 0 \end{pmatrix}$$

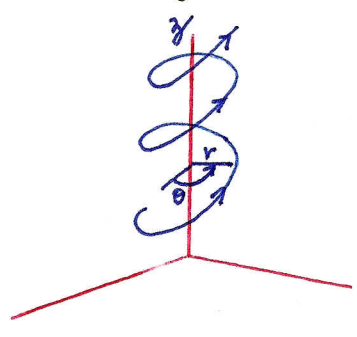
$$\underline{D} = \frac{1}{2} (\underline{G} + \underline{G}^T) \Rightarrow [D] = \frac{1}{2} \begin{pmatrix} 0 & \frac{dw}{dr} - \frac{w}{r} & 0 \\ \frac{dw}{dr} - \frac{w}{r} & 0 & 0 \\ 0 & 0 & 0 \end{pmatrix}$$

$$\underline{W} = \frac{1}{2} (\underline{G} - \underline{G}^T) \Rightarrow [W] = \frac{1}{2} \begin{pmatrix} 0 & -\frac{dw}{dr} - \frac{w}{r} & 0 \\ \frac{dw}{dr} + \frac{w}{r} & 0 & 0 \\ 0 & 0 & 0 \end{pmatrix}$$

$\because w = kr^{-1} \Rightarrow w' = -kr^{-2}$   
 $\Rightarrow \frac{dw}{dr} + \frac{w}{r} = -kr^{-2} + kr^{-2} = 0$   
 $\Rightarrow \underline{W} = \underline{0}$

(iii)  $\dot{x}_1 = -\Omega(x_2 - g(x_3))$   $\dot{x}_2 = \Omega(x_1 - f(x_3))$   $\dot{x}_3 = 0$   $\Omega = cte$

(iv) Helical flow  $\dot{r} = 0$   $\dot{\theta} = w(r)$   $\dot{z} = u(r)$   $w' = \frac{dw}{dr}$   $u' = \frac{du}{dr}$



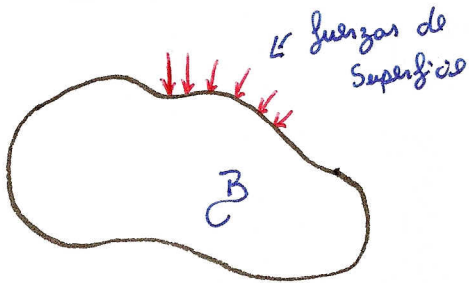
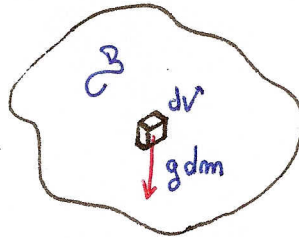
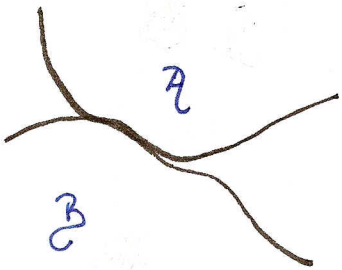
$$\underline{G} = \text{grad } \underline{\dot{x}} = -\frac{w}{r} \underline{e}_r \otimes \underline{e}_\theta + w' \underline{e}_\theta \otimes \underline{e}_r + u' \underline{e}_z \otimes \underline{e}_r$$

$$[G] = \begin{pmatrix} 0 & -\frac{w}{r} & 0 \\ w' & 0 & 0 \\ u' & 0 & 0 \end{pmatrix}$$

(v) Campo de velocidades usado para estudiar el efecto de la rotación de la tierra en las corrientes del océano (Coriolis)

$$\dot{x}_1 = u(x_3) \quad \dot{x}_2 = v(x_3) \quad \dot{x}_3 = 0$$

- ↳ En el capítulo anterior se estudió las deformaciones, ahora se estudiará lo que causa las deformaciones, que son las fuerzas.
- ↳ Las fuerzas se clasifican de superficie y de cuerpo



$\downarrow g$  ← gravedad

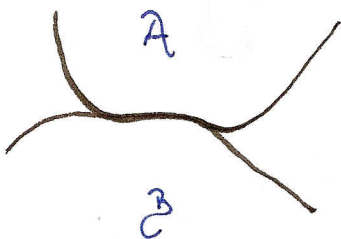
Las fuerzas de cuerpo actúan a distancia y actúan sobre cada posición del cuerpo, sea por unidad de volumen o unidad de masa. Ej. la fuerza debido a la gravedad  $g dm$ , las fuerzas debido a campos electromagnéticos.

Las fuerzas de superficie se producen por el contacto con otros cuerpos, actúan solo sobre la superficie del cuerpo

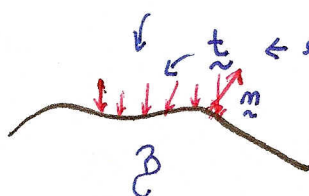
$\partial B$   
notación para la superficie del cuerpo

Vectores esfuerzo (Cauchy)

↳ modelamiento de las fuerzas de superficie



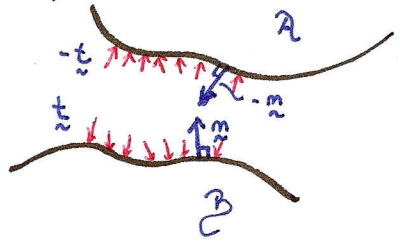
distribución de fuerzas por u. de área, denominamosla  $\underline{t}$



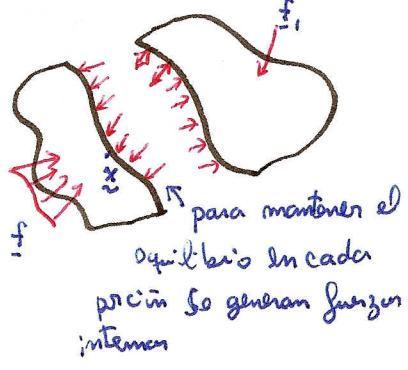
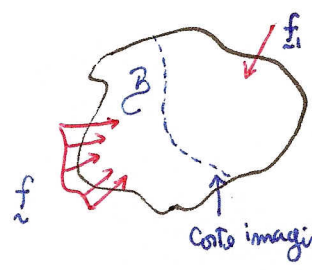
$\underline{t}$  es un vector,  $\frac{\text{Fuerza}}{\text{Area}}$   
 $\underline{t} = \underline{t}(\underline{x}, t, m)$   
 depende de la posición  $\uparrow$  cambia en el tiempo  
 Vector unitario normal a la superficie en  $\underline{x}$

¿ Por que  $t$  depende en  $m$ ?

→ por el principio de acción y reacción

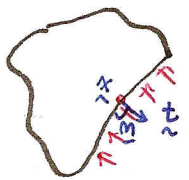
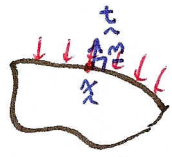
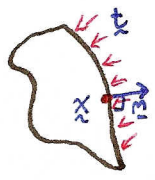
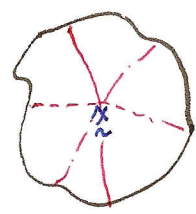


→ Queremos examinar las "fuerzas internas" que generan la deformación de un cuerpo



→ Estas fuerzas internas son en realidad los mismos tipos de fuerza de superficie  $t$  mencionada anteriormente

→ Para un mismo punto  $x$  en el interior de  $B$  hay infinitas maneras de hacer un corte imaginario que pase por ese punto



Para cada corte es claro que en  $x$  la distribución de fuerzas internas va a ser diferente, por lo tanto  $t$  debe depender en un parametro que tenga que ver con la "orientación" del corte imaginario, y este parametro es  $m$

⇒ Asumir que  $t = t(x, t, m)$  se conoce como la "hipotesis de Cauchy."

→ Ojo, se asume que el vector esfuerzo en un punto  $x$  no se ve "afectado" por el estado de fuerzas en otras zonas del cuerpo de manera explicita ⇒ efecto local.

Leyes de Euler

→ fuerzas de superficie  $\underline{t}$       → fuerzas de cuerpo  $\underline{b}$  ←  $\frac{\text{Fuerza}}{\text{masa}}$   
 $\underline{t}$ ,  $\underline{b}$  son densidades de fuerza por u. de superficie y u. de volumen

→ Fuerza total actuando en el cuerpo  $\mathcal{B}$  con borde o superficie  $\partial\mathcal{B}$

$\underline{f}_T = \underline{f}_t + \underline{f}_b$       donde  $\underline{f}_t = \int_{\partial\mathcal{B}} \underline{t} da$   
 $\mathcal{C}_t$  configuración deformada

$\underline{f}_b = \int_{\mathcal{B}} \rho \underline{b} dv$   
 $\uparrow$   $\uparrow$   
 $\mathcal{B}$   $dm$

→ Momento angular (torque) causado por  $\underline{t}$ ,  $\underline{b}$

$\underline{l}_T = \underline{l}_t + \underline{l}_b$       ← se calcula c/n a una referencia  $\underline{x}_0$

$\underline{l}_t = \int_{\partial\mathcal{B}} (\underline{x} - \underline{x}_0) \times \underline{t} da$

$\underline{l}_b = \int_{\mathcal{B}} (\underline{x} - \underline{x}_0) \times \rho \underline{b} dv$

⇒ No consideraremos el caso de momentos o torques puros  
• Las fuerzas puntuales se pueden considerar si las integrales se extendieran en el sentido de Lebesgue.

Conservación de momentum lineal

Cantidad de momentum lineal acumulado por el cuerpo

este no es masa es momentum lineal       $\underline{m} = \int_{\mathcal{B}} \rho \underline{\dot{x}} dv$       →  $\frac{v}{m}$  masa  
 $\uparrow$   $\uparrow$   
 $\mathcal{B}$   $dm$       velocidad

1era Ley Euler

$\underline{f}_T = \dot{\underline{m}}$